

MASTOZOOLOGIA

UNA NUEVA ESPECIE COLOMBIANA DEL GENERO *DICLIDURUS*
(*MAMMALIA: CHIROPTERA*): *DICLIDURUS INGENS*

POR

JORGE HERNÁNDEZ-CAMACHO

Auxiliar de Zoología, Instituto de Ciencias Naturales, Universidad Nacional, Bogotá.

Hace algún tiempo el doctor Jorge Boshell Manrique capturó un ejemplar de murciélagos del género *Diclidurus* cuyos caracteres indican que aparentemente corresponde a una especie previamente no descrita. Por primera vez se registra así la presencia de este género en Colombia, del cual se reconocen actualmente otras dos especies: *D. albus* (1), cuya distribución conocida comprende las Guayanás y el Brasil (Estados de Amazonas, Baía y Espírito Santo), y *D. virgo* (2) repartida a través de Guatemala, Honduras, Costa Rica y Panamá, lo cual hacía indudable la presencia de este género en territorio colombiano.

Además es muy posible que la distribución de *D. albus* comprenda la Orinoquia y la Amazonía colombiana, y por tanto coexista dicha especie con *D. ingens* en la Alta Amazonía.

***Diclidurus ingens*. sp. nov.**

HOLOTYPUS.— ♂ adulto, ejemplar preservado originalmente en solución de formaldehido, cráneo extraído. Depositado en la colección de Zoología del Instituto de Ciencias Naturales, Universidad Nacional, Bogotá. Coleccionado por el Dr. Jorge Boshell M. en 1949.

LOCALIDAD TIPICA.— Puerto Leguízamo, Intendencia del Caquetá, Colombia.

-
- (1) *Diclidurus albus* WIED-NEUWIED, Isis, p. 1630. 1819. *Loc. typ.*: Río Pardo, Estado de Baía, Brasil. *Syn.*: *D. freyreissii* WIED-NEUWIED 1838, *D. scutatus* PETERS 1869 (*fide* Da Cunha Vieira, 1942, Arq. Zool. Est. São Paulo, 3 (8): 252).
- (2) *Diclidurus virgo* THOMAS, Annals and Magazine of Natural History; ser. 13, 11, p. 377. 1903. *Loc. typ.*: Escazú, Provincia de San José, Costa Rica.

Puerto Leguizamo es cabecera del municipio de su mismo nombre, situada en la margen izquierda del río Putumayo, cerca a la desembocadura del río Caucaya y junto al poblado de este nombre. Las coordenadas geográficas de Caucaya fueron determinadas por la Oficina de Longitudes, así: latitud $0^{\circ} 12' 01''$ S., longitud $0^{\circ} 42' 07''$ W. del meridiano oficial ($= 74^{\circ} 46' 58''$ W. de Greenwich, correspondiendo el meridiano oficial o de Bogotá a $74^{\circ} 4' 51''$ W. de Greenwich) y su altura se aproxima a unos 200 metros sobre el nivel del mar.

Esta región no es inundable y se halla cubierta de selva higrófila, salvo en las inmediaciones de la población donde gran parte de la selva primitiva ha sido talada con destino a la obtención de pastos para ganadería, y en gran parte ha sido substituida por asociaciones vegetales secundarias.

Puerto Leguizamo se halla conectado por carretera (26 km.) con La Tagua, caserío situado sobre la orilla derecha del río Caquetá; ambas poblaciones pertenecían anteriormente a la Comisaría del Putumayo (hoy incorporada al Departamento de Nariño), pero posteriormente fueron anexadas a la Intendencia del Caquetá.

HYPODIGMA.— Unicamente el holotípo.

DIAGNOSIS ESPECÍFICA

Distingüible fácilmente de las otras especies conocidas por su tamaño mucho mayor; por el pelaje del pecho y del abdomen bicolor (unos 2/5 basilares de color gris intenso), en contraste con el colorido blanco uniforme de sus congéneres; por presentar cuatro lóbulos o cúspulas redondeadas, bien definidas, en el borde cortante del segundo incisivo inferior (3); el ancho zigomático constituye el 66.66% de la longitud máxima del cráneo (57.57% en *albus* y 76.6% aproximadamente en *virgo*); la altura occipital significativamente mayor, índices de 58.57% en *ingens* (4), 52.63% en *albus* y aproximadamente de 51.5% en *virgo*; la serie molar superior relativamente mayor, índices de 45.68% en *ingens* (5), 30.30% en *albus* y aproximadamente de 34.0% en *virgo*; por la presencia de dos pequeñas excrecencias córneas, dorso-convexas, oblongas, de color negruzco, situadas sobre la superficie dorsal del uropatagio, próximas al uro-

- (3) Tanto en las otras especies de *Diclidurus* así como también en los trece géneros restantes de la familia *Emballonuridae* el número de cúspulas de los bordes cortantes de los incisivos inferiores es invariablemente de 3.
- (4) Relación del porcentaje de la altura occipital sobre la longitud máxima del cráneo.
- (5) Relación del porcentaje de la longitud de la serie molar superior sobre la longitud máxima del cráneo.

marsipio, aparte de otros detalles. Fosas basi-esfenoideas grandes, separadas por un *septum* completo.

Comparada con *D. albus*, esta nueva especie difiere por su *rostrum* mucho mayor, no abruptamente arqueado hacia arriba y consecuentemente con un ángulo rostro-frontal obtuso; frente no tan fuertemente convexa; tamaño mucho mayor (antebrazo ca. 1/3 mayor, cráneo ca. 1/5 mayor); por sus proporciones bastante diferentes, en efecto, la longitud del antebrazo (lo mismo que la del metacarpiano del 3er. dedo) excede la longitud conjunta de la cabeza y cuerpo, excluyendo la cola ($50 \times 100: 54 = 108.0\%$ en *albus* vs. $71.9: 65 = 90.40\%$ en *ingens*). No he tenido oportunidad de examinar material de *albus*, o disponer de figuras en tales condiciones que permitan hacer alguna comparación acerca de la morfología dentaria de estas dos especies.

Se aparta de *D. virgo* por su tamaño mayor (antebrazo y cráneo respectivamente 1/10 y 1/5 mayores); por su *rostrum* comparativamente más desarrollado y menos curvo hacia arriba; por tener los globos auditivos (*bullae*) relativamente menores y menos convexos o prominentes (índices de 20.95% en *ingens* (6) vs. 25.5% aproximadamente en *virgo*, o sea casi 1/5 menores); alas pterigoideas (ectopterigóideos) menos reclinados hacia atrás y menos aguzados, distalmente; *sinus intermaxilar* menos escotado que en *virgo* y de aspecto truncado; caninos superiores sensiblemente menos procumbentes, más robustos; el segundo premolar superior - M 4 - (7) presenta una cúspide medial más robusta, menos aguzada y falcada, con leve tendencia a ser procumbente, la cúspide anterior aparece ser más desarrollada, la posterior es menos prominente y diferenciada de la principal (sin la pequeña pero conspícua escotadura que la separa de esta última en *virgo*) siendo el borde posterior de la cúspide principal cóncavo cuando se aprecia su perfil lateral; el segundo molar superior - M 6 - con el *parastylus* menos pronunciado; el canino inferior con el cíngulo más alto anteriormente, simulando una cúspide aguda cuando se aprecia de perfil (aspecto labial o bucal); el primer molar inferior - M 5 - muestra un *parastylus* más desarrollado y el *mesostylus* ligeramente menor que en *virgo*. El forámen antenorbital es comparativamente menor.

DISTRIBUCION.— Conocida únicamente de la localidad típica; presumiblemente esta especie habita también en la Amazonía peruana

(6) Relación del porcentaje de la longitud del globo auditivo sobre la longitud máxima del cráneo.

(7) Las siglas M 4, M 6 y M 5, que aparecen en el texto, corresponden a la numeración de los respectivos molariformes según Miller (1907, Bull. U. S. Nat. Mus., 57: 32, 95).

(Departamento de Loreto), la Amazonía ecuatoriana y gran parte de la Amazonía colombiana, sin descartar la posibilidad de que pueda extenderse hasta el Estado del Amazonas, Brasil.

El Dr. Boshell me informó haber observado en la localidad típica algunos otros "murciélagos blancos", los cuales podrían ser asignables a la presente especie.

DESCRIPCIÓN

OREJA.— Las orejas son separadas aunque se insertan anteriormente en un mismo punto en medio de la frente, pues la membrana inter-auricular se extingue hacia adelante sin llegar a juntarlas. El pabellón es desnudo en su mayor parte y de color probablemente rosado muy pálido *in vivo*, dado el color amarillento del material desecado. La epidermis no presenta granulaciones o excrecencias apreciables. La forma general del pabellón es semicircular y se halla echado hacia atrás en dirección fuertemente oblicua.

***Helix*.**— La membrana inter-auricular puede considerarse como la prolongación fronto-temporal o anterior de la *helix*. El borde de aquella (borde interno o antero-dorsal del pabellón) no se halla sensiblemente engrosado, asciende convexamente hacia atrás, el resto del borde es ampliamente convexo y de dirección oblicua hacia atrás, en su mitad basilar con pelillos blancos, ciliolados, erectos y escasamente perceptibles a simple vista (los de mayor longitud son ondulados y alcanzan 2 mm.); la extremidad del pabellón es redondeada confundiéndose con la convexidad general del perfil. El borde posterior o externo, exhibe un perfil ampliamente convexo con pelillos blancos ciliolados; en su parte inferior se repliega hacia adentro para formar el antitragus y después adquiere una tendencia horizontal formando el lóbulo basilar externo y extinguiéndose.

La porción fronto-temporal presenta en toda su longitud (aspecto ectótico) un profundo surco basilar provisto de pelillos blancos mezclados con algunas vibriras negras muy cortas. Este surco diverge hacia atrás, del borde antero-dorsal de la membrana inter-auricular y se aleja de su inserción en la frente; hay una carina que separa la *helix* propiamente dicha de la citada membrana, esta carina se extingue sobre el borde antero-superior de la membrana en forma de varios pliegues sinuosos, contiguos, oblicuamente dirigidos hacia adelante de abajo hacia arriba y con algunos pelillos blancos. El surco desciende hacia la concha, al llegar a esta desaparece este surco, pero la carina continúa separada de la concha por un fuerte declive, la carina se torna recta, está provista de pelillos blancos hasta de 2

mm. de longitud y se ramifica distalmente dando lugar a la formación de dos pliegues dotados de pelillos blancos; esta carina se extingue en la región post-distal del pabellón, y da como resultado la formación de una gran expansión de la helix dirigida oblicuamente de arriba hacia abajo un tanto atrás hacia la concha, en su vértice incurvándose y confundiéndose en el declive de la concha.

La región post-distal del pabellón tiene unos 15 pliegues transversales que llegan casi hasta el borde posterior de aquel, su anchura se aproxima a 0.5 mm. y poseen algunos pelillos blancos muy pequeños y críspulos en sus bases.

Concha.— El resto de la cara externa del pabellón lo constituye la concha, fuertemente excavada y cóncava.

Tragus.— Espatulado, constricto hacia la mitad, orbicular distalmente, con margen engrosado. Cara externa cóncava con una hilera de pelillos blancos en la porción lateral superior. Cara interna desnuda. Carece de lóbulo basilar.

Antitragus.— Reducido a un estrecho borde de piel reflejada hacia adentro, gradualmente adquiere una ligera convexidad que se extingue sobre el borde externo del pabellón. El margen se halla engrosado y tiene algunos pelitos blancos con escasas vibrisas negras pequeñas.

Lóbulo basilar externo.— A continuación del antitragus el borde posterior del pabellón se refleja verticalmente hacia adentro, siendo entonces convexo, con margen engrosada y algunos pelillos blancos. El borde posterior del pabellón lo mismo que este lóbulo, se extinguen sobre la mandíbula un poco adelante de la comisura rictal.

Aspecto temporal (entótico).— Pabellón desnudo en la porción post-distal, con los pliegues muy patentes, el resto se halla cubierto de pelaje denso de color blanco, hasta de unos 5 mm. de longitud.

CABEZA.— El pelaje de la frente es largo, dirigido hacia adelante, de color blanco y oculta el surco basilar de la membrana interauricular; cubre la región frontal y parietal, descendiendo una faja junto a la membrana inter-auricular llegando hasta el tragus, y dejando las regiones superciliares desnudas; en los bordes de las regiones superciliar y frontal se encuentran pequeñas vibrisas de unos 2 mm. de longitud, de color negro, entremezcladas con el pelaje blanco y de dirección similar a la de éste.

Rostrum, mejillas y región orbital desnudos, de color amarillento *in sicco* (probablemente rosado muy pálido *in vivo*), sin excreencias o granulaciones apreciables.

En las regiones anteorbital e infraorbital existen escasas vibriras negras, adpresas, dispuestas radialmente con respecto al ojo. Labio superior con una lista de pelillos blancos dirigidos oblicuamente hacia abajo y adelante, la cual se extingue en la porción anterior del labio y alcanza su anchura máxima en las proximidades del rictus; mezcladas con los pelillos blancos y ubicadas similarmente a éstos existen vibriras negras, adpresas, de unos 2 mm. de longitud. Rinario desnudo, región supranasal cubierta por algunos pelillos blancos, adpresos, dirigidos hacia adelante. Labios inferiores muy carnosos, desnudos lo mismo que los lados de la mandíbula y con algunos pelillos blancos muy cortos, poco perceptibles a simple vista, sobre el borde dorsal del labio. La región inter-mandibular tiene pelaje blanco medianamente largo y escaso, que se hace más profuso y largo hacia el cuello.

El pelaje de la frente en particular, tiene un tinte amarillento en su base, probablemente debido a la actividad de algunas glándulas cutáneas.

PELAJE DEL CUERPO.— Borra ausente. En la región inter-escapular se separa, dirigiéndose el de la cabeza y el cuello hacia adelante, mientras que el de la espalda se dirige normalmente hacia atrás.

Los pelos de las regiones superiores son largos, su longitud fluctúa entre 10 y 15 mm., alcanzando su mayor longitud en la región lumbar, base de la cola y borde del uropatagio; su textura es sedosa y su coloración uniformemente blanca. En las regiones inferiores el pelaje es similar, dirigido hacia atrás; en los flancos, pecho y abdomen (excepto el bajo abdomen) los 2/5 basilares son de color gris pizarra y el resto de color blanco. Periné, escroto y prepucio casi desnudos; escroto con dos hileras longitudinales laterales de pelillos blancos, prepucio con un mechón terminal erecto de pelos blancos de 2.5 mm.; alrededor de las regiones semidesnudas ya citadas, hay una faja de pelaje blanco dispuesto radialmente con respecto a éstas.

PROPATAGIO.— Carente de saco glandular.

Superficie dorsal: con una faja de pelos blancos, adpresos, cortos (ca. 3 mm.), dispuesta a lo largo del borde humeral y aproximadamente 1/7 proximal del borde antebraquial; el resto provisto de pelillos blancos, muy cortos y muy ralos.

Superficie ventral: una faja de pelos blancos, adpresos, cortos, dispuesta sobre 1/3 proximal del borde humeral; el resto de la membrana cubierto por una vellosidad blanca, muy corta y muy rala.

EXTREMIDAD ANTERIOR.— Piel desnuda de color amarillento (*in siccо*) similar a la de las membranas, sin granulaciones perceptibles. Brazo cubierto de pelos blancos en la mitad proximal de la superficie dorsal y en unos 2/5 proximales de la superficie ventral, sobre el epicóndilo lateral del húmero con una vellosidad blanca, corta y poco perceptible. Antebrazo con escasos pelillos blancos poco conspicuos sobre la superficie dorsal en su mitad distal. Esparcida sobre el carpo, el metacarpiano del hallux y su borde contiguo del propatagio y del dactilopatagio, existe una vellosidad blanca corta y escasa espaciada sobre la superficie dorsal; hacia la base del metacarpiano del 5º dedo (superficie dorsal) se encuentran pelillos blancos muy cortos.

ENDOPATAGIO.— Se desprende de la articulación entre el metatarsiano del 5º dedo y el cuboides. *Superficie dorsal:* desnuda, salvo una estrecha faja de vellosidad blanca, adpresa, corta y medianamente densa extendida sobre el borde toráxico y las porciones proximales de los bordes femoral y humeral.

Superficie ventral: similar, pero además con una faja de pelaje blanco, corto y medianamente denso, sobre el borde antebraquial, que tiene unos 15 mm. de anchura máxima sobre el borde del metacarpiano del 5º dedo y disminuye gradualmente en anchura hasta extinguirse a unos 11 mm. de la articulación del codo.

DACTILOPATAGIO.— Desnudo casi en su totalidad pero con una estrecha faja de vellosidad blanca, corta y medianamente densa, confinada al borde del metacarpiano del 5º dedo (superficie ventral).

EXTREMIDAD POSTERIOR.— Muslo casi totalmente cubierto de pelos blancos, desnudo en su extremo distal. Pierna desnuda. Calcáneo fuertemente deprimido, bien desarrollado, agudo y curvado hacia su tercio distal, este último terminado en un apéndice cartilaginoso. Pata desnuda, pero con algunos pelillos blancos de 0.1 - 0.2 mm. de longitud y sin callosidades plantares apreciables. Uñas negras, comprimidas, curvadas y agudas, con un surco inferior hacia su base.

UROPATAGIO.— *Superficie dorsal:* con una faja de pelaje blanco y largo (ca. 15 mm.), sobre las porciones proximales de los bordes femorales, el resto desnudo.

Superficie ventral: desnuda, con una faja de pelaje similarmente ubicada sobre los bordes femorales, los pelos son blancos hasta de unos 15 mm. de longitud; el resto de la membrana es desnudo.

COLA.— Unida dorsalmente al uropatagio en casi toda su longitud, con pelillos blancos hasta de 0.5 mm.; en su extremo perfora el uropatagio, recurvándose e implantándose en el uromarsipio.

UROMARSIPIO (8).— Desnudo, medial, longitudinal, consta de dos piezas córneas unidas. La pieza anterior se sobrepone en su borde posterior a la convexidad de la pieza posterior. El color de estas piezas es negro-café y la carina ventral de la pieza posterior es de color ambarino que con la humedad se torna rosado muy pálido. Existe una pequeña bolsa situada en la superficie ventral del uropatagio debajo de la pieza posterior del uromarsipio.

A cada lado del uromarsipio, sobre la superficie dorsal del uropatagio, hay una diminuta excrecencia oblonga, dorso-convexa de color negro-café.

DIMENSIONES SOMATICAS.— Las dimensiones que se dan a continuación corresponden en su orden así: holotipo de *Diclidurus ingens*, dos ejemplares de *D. albus* (9) y un ejemplar de *D. virgo* (10).

Antebrazo (desde la articulación húmero - radio - cubital, hasta el carpo exclusive), 71.9, 50.0, 50.0, 64.0; antebrazo (incluyendo el carpo), 72.8, -, -, - (11); longitud conjunta cabeza - cuerpo, 65.0, 54.0, -, -; longitud de la cola, 23.0, -, 12.0, -; longitud de la tibia (desde la articulación fémoro-tibial, hasta la articulación tibio-tarsiana), 23.6, 20.0, 20.0, 20.8; pata (con uña, sin calcáneo), 10.0, 5.0, 5.0, -; calcáneo (desde su articulación), 20.4, -, -, 20.8; hallux (con uña), 6.4, 1.0, 1.0 (12), -; longitud del metacarpiano del 3er. dedo, 73.0, 50.0, 50.0, -; longitud del metacarpiano del 3er. dedo (incluyendo el carpo), 74.5, -, -, -; primera falange del 3er. dedo, 11.8, 10.0, 10.0, -; segunda falange del 3er. dedo, -, 15.0, 15.0, -; metacarpiano del 4º dedo, 55.0, -, -, -; metacarpiano del 5º dedo, 41.3, -, -, -; altura de la oreja (desde el meato auditivo), 12.0 (13), 8.0, 8.0, -; anchura de la oreja, 9.0, -, -, -; altura del tragus, 5.0, 3.5, 3.5, -, mm.

- (8) He adoptado el vocablo *uromarsipio* para designar la excrecencia córnea situada sobre la cara dorsal del uropatagio que sirve de envoltura al extremo de la cola en los ♂♂ de *Diclidurus*. Del griego *oura* = cola, *marsipos* = bolsa.
- (9) Dimensiones de 1 ♂ y 1 ♀ procedentes de Taracuá, Río Negro, Estado Amazonas, Brasil; según Da Cunha Vieira (1942, Arq. Zool. Est. São Paulo, 3 (8): 253).
- (10) Dimensiones reducidas a milímetros de la plancha XII (a escala de 1½) de Miller (1907, Bull. U. S. Nat. Mus., 57), tomada de un ejemplar de Champerico, Guatemala. La dimensión del antebrazo de *D. virgo*, es la de un ejemplar de Honduras (cf. Sanborn, Bol. Mus. Hist. Nat. Javier Prado, 7, no. 24-25, 129, 1943).
- (11) Sobre la práctica del uso de esta medida véase a De la Torre (Journ. Mamm., 35 (1): 116. 1954).
- (12) Las dimensiones del hallux según Da Cunha Vieira (*loc. supra cit.*) a mi parecer son excesivamente pequeñas para *D. albus*.
- (13) Las dimensiones del pabellón auditivo fueron tomadas del material desecado.

DIMENSIONES CRANEANAS.— Las dimensiones corresponden en su orden así: holotipo de *D. ingens*, un ejemplar de *D. albus* (14) y uno de *D. virgo* (15).

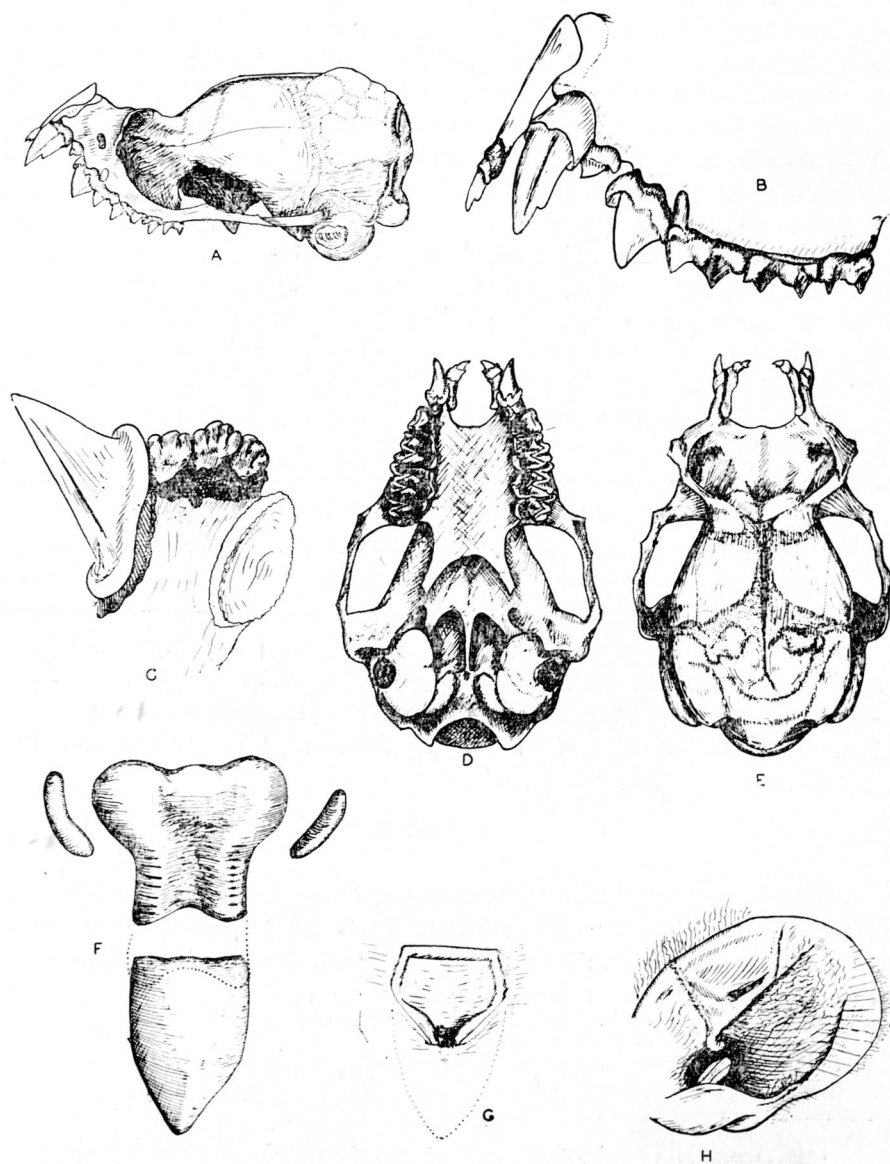
Longitud máxima (hasta el borde anterior del alvéolo del incisivo superior), 21.0, 16.5, 17.6; longitud palatal (*palation*- borde anterior del alvéolo del canino superior), 10.6, -, 7.5; longitud paltosinual (desde el *palation* hasta el punto más profundo del *sinus inter-maxilar*), 7.2 -, 6.0; longitud condilo-canina (*condylion* - borde alveolar anterior del canino), 20.5, -, -; serie dental superior (desde el canino), 9.4, 5.0, 6.0; longitud de la caja craneana (desde la confluencia de las crestas supraorbitales con la cresta sagital, hasta el punto más distante del occipucio), 13.6, -, -; altura máxima de la caja craneana (desde el *basion* hasta el punto más alto del sincipicio), 8.2, 5.0, 6.9; longitud del globo auditivo o timpánico, 4.4, -, 4.5; altura del globo auditivo 2.0, -, -; longitud de la fosa basi-esfenoidal, 3.2 -, -; longitud órbito-maxilar (desde el borde anterior de la órbita hasta el borde anterior del alvéolo del canino superior), 5.0 -, -; altura máxima desde los globos auditivos hasta el punto más alto del sincipicio, 10.2, -, 9.9; ancho bizigomático máximo, 14.0, 9.5, 13.5; ancho de la caja craneana (sobre el proceso zigomático del temporal), 10.0, -, 9.3; ancho mínimo de la constricción post-orbital, 6.2, -, -; ancho interorbital (entre los bordes anteriores de las órbitas), 8.2, -, 9.3; separación entre los caninos superiores, 3.1, -, -; separación máxima entre los molares superiores (M 6 - s trí-); longitud de la mandíbula (*condylion* - *symphysis*), 18.2, 13.0, 15.1; longitud de la serie dental mandibular (desde el canino), 10.3, -, 9.0, mm.

AGRADECIMIENTO

Deseo expresar mis agradecimientos a los doctores Hernando Osorno-Mesa, Ernesto Osorno-Mesa, Jesús M. Idrobo y Jorge Boshell M., quienes con su valioso aporte hicieron posible la realización de este trabajo.

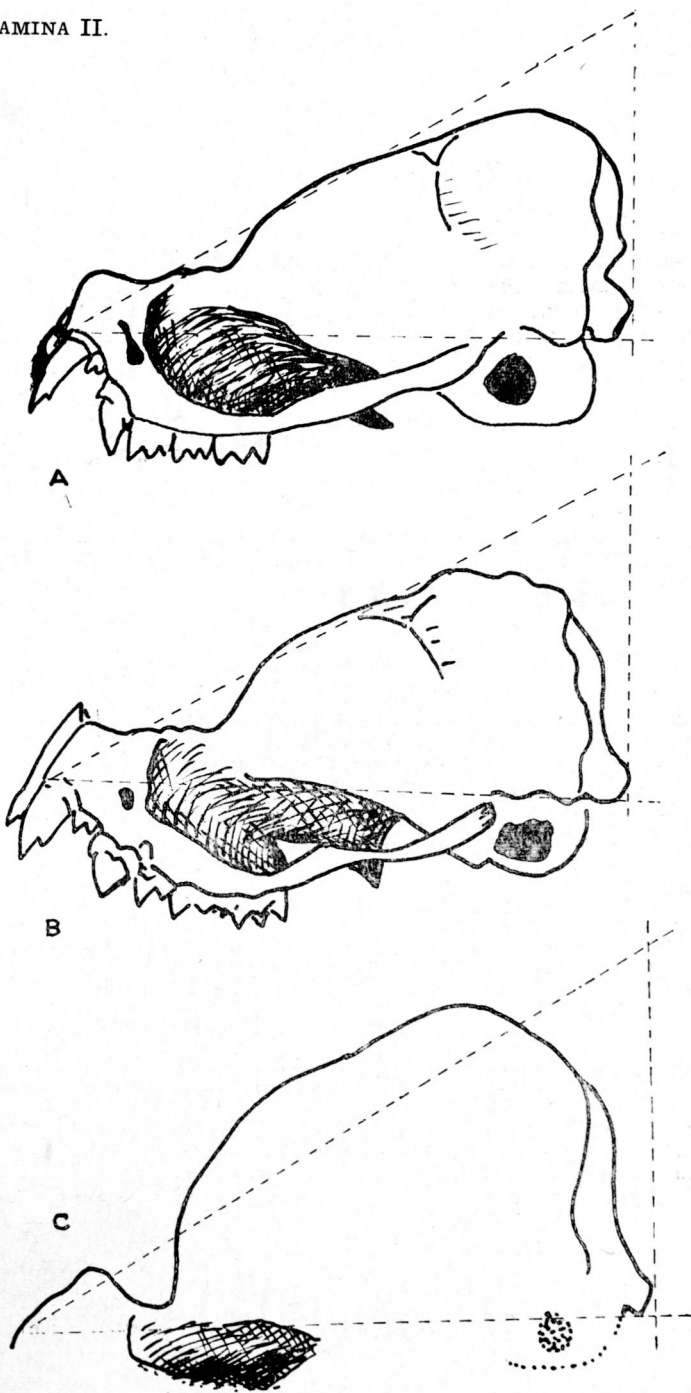
-
- (14) Dimensiones del cráneo de 1 ♂ procedente de Taracuá, Estado Amazonas, Brasil, según Da Cunha Vieira (*loc. supra cit.*).
- (15) Dimensiones reducidas a milímetros de la figura 18 (a escala de 1 1/3) de Miller (*op. cit.*), tomada de un ejemplar de Champerico, Guatemala. Para obtener las dimensiones reales del cráneo original se tomaron las medidas de la figura de Miller, estos resultados fueron divididos por 4 y luego multiplicados por 3.

LAMINA I.



Véase explicación en la página 98.

LAMINA II.



Véase explicación en la página 98.

EXPLICACIÓN DE LAS FIGURAS

LAMINA I. *Diclidurus ingens*, holótipo.

- Figura A. — Cráneo (*norma lateralis*) x 2.5 aproximadamente.
" B. — Serie dental maxilar (aspecto labial) x 5.
" C. — Canino e incisivos inferiores (aspecto bucal) x 5.
" D. — Cráneo (*norma palatalis*) x 2.5 aproximadamente.
" E. — Cráneo (*norma frontalis*) x 2.5 aproximadamente.
" F. — Uromarsipio (aspecto dorsal) x 5. La pieza posterior ha sido separada, la línea de puntos indica la sobreposición del borde posterior de la pieza anterior. Los pliegues transversales que se observan en la pieza anterior son debidos probablemente al desecamiento.
" G. — Bolsa situada en la superficie ventral del uropatagio, x 5. La línea punteada indica su posición respecto a la pieza posterior del uromarsipio.
" H. — Pabellón auditivo (aspecto lateral) x 2. Esta figura fue tomada del material previamente humedecido.

LAMINA II.

- Figura A. — Diagrama del cráneo (*norma lateralis*) de *Diclidurus virgo* x 5.7. Adaptado de Miller (*op. cit.* fig. 18).
" B. — Diagrama del cráneo (*norma lateralis*) del holótipo de *D. ingens* x 5 aproximadamente.
" C. — Perfil del cráneo (*norma lateralis*) del *D. albus* x 6.1. Adaptado de Da Cunha Vieira (*loc. cit.*, pl. I, fig. 3).